

طراحی نمودارهای کنترل میانگین پیش‌روندۀ برای پایش پروفایل‌های خطی ساده چندمتغیره در فاز ۲

مهندسي صنایع و مدیریت شریف، (ریاضیات)، دوری ۴، شماره ۳، صص. ۹۹-۱۰۸، پژوهشی (۱۴۰۲)

امین ستوده (کارشناس ارشد)

امیرحسین امیری^{*} (استاد)

گروه هندسی صنایع، دانشکده فنی و هندسی، دانشگاه شاهد، تهران

محمد رضا ملکی (استادیار)

گروه هندسی صنایع، دانشکده فنی هندسی گلابیگان، دانشگاه صنعتی اصفهان، گلابیگان

سینا جمشیدی (کارشناس ارشد)

گروه هندسی صنایع، دانشکده فنی و هندسی، دانشگاه شاهد، تهران

در برخی از کاربردهای صنعتی، کیفیت محصول بر اساس یک رابطه رگرسیونی خطی میان چند متغیر پاسخ با یک متغیر مستقل توصیف می‌شود که به آن پروفایل خطی ساده چند متغیره گفته می‌شود. بر اساس آخرین اطلاعات مؤلفین، رویکرد میانگین پیش‌روندۀ علی‌رغم قابلیت بالا در کشف سریع تغییرات کوچک و متوسط، برای پایش پروفایل‌های خطی چند متغیره استفاده نشده است. در پژوهش حاضر، به علت عملکرد بهتر این رویکرد نسبت به نمودارهای باحافظه، سه نمودار مبتنی بر رویکرد میانگین پیش‌روندۀ شامل نمودارهای MPM_{ae} ، MPM_a و MPM_e به منظور پایش پروفایل‌های خطی ساده چند متغیره در فاز دو طراحی می‌شوند. عملکرد نمودارهای پیشنهادی با نمودارهای رایج شامل نمودارهای $MEWMA/x^2$ ، $MEWMA$ و $MEWMA/x$ ^۳ بر اساس شخص متوسط طول دنباله مقایسه شده و نتایج نشان می‌دهد که روش‌های پیشنهادی نسبت به نمودارهای رقیب از عملکرد بهتری در تشخیص شیفت‌های مختلف برخوردارند. در پایان، کاربرد بهترین روش پیشنهادی با استفاده از داده‌های واقعی صنعت خودروسازی تشریح می‌شود.

aminsotode1373@gmail.com
amiri@shahed.ac.ir
m.maleki@iut.ac.ir
sajamshidi1375@yahoo.com

واژگان کلیدی: پروفایل خطی ساده چند متغیره، فاز دو، متوسط طول دنباله، میانگین پیش‌روندۀ.

۱. مقدمه

بین متغیرهای پاسخ در نظر گرفته نشده و پروفایل‌ها به صورت جداگانه پایش شوند، ممکن است نتایج گمراه کنندۀای حاصل شده و نیز هشدار به اشتباه افزایش باید.^[۱] در این زمینه، دو نمودار باحافظه برای پایش همزمان بردار میانگین و ماتریس کوواریانس پروفایل‌های خطی چندگانه چندمتغیره در فاز دو ارائه کردد.^[۲] بر مسئله اثر تخمین پارامتر بر پایش پروفایل‌های خطی چندگانه چندمتغیره در فاز دو تمرکز کردنند.^[۳] به معروفی برآوردهای استوار برای پایش پروفایل‌های خطی ساده چندمتغیره در حضور داده‌های پرت پرداختند.^[۴] اثر خطای تخمین در تجزیه و تحلیل فاز یک را بر عملکرد تحت کنترل و خارج از کنترل چهار نمودار کنترل برای پایش پروفایل‌های خطی چندگانه چندمتغیره بررسی نمودند.^[۵] دو نمودار میانگین متحرک موزون نمایی (EWMA) برای پایش پروفایل‌های خطی ساده

در بسیاری از کاربردهای کنترل کیفیت آماری، کیفیت محصول با استفاده از یک رابطه رگرسیونی میان یک متغیر پاسخ و یک یا چند متغیر مستقل تعریف می‌شود که به اصطلاح به آن پروفایل گفته می‌شود. در موارد مشخصی، خروجی فرایند را می‌توان به وسیله چندین پروفایل همبسته توصیف نمود که با استفاده از یک رابطه خطی به متغیرهای مستقل مرتبط می‌شوند. در این صورت، اگر رگرسیون‌های چندمتغیره دارای یک متغیر مستقل باشد، یعنی هر یک از متغیرهای پاسخ پروفایل‌های رگرسیونی مورد نظر تابع تنها یک متغیر مستقل باشند، به آن پروفایل خطی ساده چندمتغیره گفته می‌شود. در این شرایط، چنانچه همبستگی

* نویسنده مسئول

تاریخ: دریافت ۷/۳/۱۴۰۱، اصلاحیه ۲۹/۵/۱۴۰۱، پذیرش ۲۸/۶/۱۴۰۱.

استناد به این مقاله:

ستوده، امین، امیری، امیرحسین، ملکی، محمد رضا، و جمشیدی، سینا، ۱۴۰۲، طراحی نمودارهای کنترل میانگین پیش‌روندۀ برای پایش پروفایل‌های خطی ساده چندمتغیره در فاز ۲. مهندسی صنایع و مدیریت شریف، ۲(۳۹)، صص. ۹۹-۱۰۸.

می‌شود. در نهایت، بخش پایانی به نتیجه‌گیری و پیشنهادها برای پژوهش‌های آتی اختصاص می‌یابد.

۲. مدل پروفایل خطی ساده چندمتغیره

گاهی کیفیت محصول بر اساس یک پروفایل چند متغیره توصیف می‌شود. هنگامی که در یک پروفایل چندمتغیره، رابطه رگرسیونی ذکر شده خطی بوده و تنها یک متغیر مستقل موجود باشد، به آن پروفایل خطی ساده چندمتغیره می‌گویند. فرض می‌شود برای نمونه k ، n مقدار ثابت برای متغیر مستقل موجود بوده و به ازای هر مقدار متغیر مستقل، p مقدار برای متغیرهای پاسخ وجود داشته باشد. در این صورت، مشاهدات هر نمونه به صورت $(x_{ik}, y_{1k}, y_{2k}, \dots, y_{pk}); i = 1, 2, \dots, n$ نشان داده می‌شوند. مدل پروفایل خطی چند متغیره عبارتست از:

$$\mathbf{Y}_k = \mathbf{X}\mathbf{B} + \mathbf{E}_k; k = 1, 2, \dots \quad (1)$$

که در آن \mathbf{Y}_k ماتریس $n \times p$ متغیرهای پاسخ، \mathbf{X} ماتریس $2 \times n$ متغیرهای مستقل، \mathbf{B} ماتریس $p \times 2$ پارامترهای مدل و \mathbf{E}_k ماتریس $n \times p$ عبارات خطاست. فرض می‌شود که سطرهای ماتریس \mathbf{E}_k نسبت به هم مستقلند (به دلیل استقلال مشاهدات درون هر پروفایل)، اما عنصرهای سطر با یکدیگر همبسته‌اند. همچنین هر سطر ماتریس \mathbf{E}_k از توزیع نرمال p متغیره با بردار میانگین صفر و ماتریس کوواریانس معلوم Σ به صورت رابطه ۲ پیروی می‌کند:

$$\Sigma = \begin{pmatrix} \sigma_{11} & \sigma_{12} & \dots & \sigma_{1p} \\ \sigma_{21} & \sigma_{22} & \dots & \sigma_{2p} \\ \vdots & \ddots & \ddots & \dots \\ \sigma_{p1} & \sigma_{p2} & \dots & \sigma_{pp} \end{pmatrix} \quad (2)$$

تخمین زننده حداقل مربعات خطای پارامترهای مدل رگرسیون برای نمونه k ام به صورت زیر محاسبه می‌شود:

$$\hat{\mathbf{B}}_k = (\hat{\beta}_{1k}, \hat{\beta}_{2k})^T = (\mathbf{X}^T \mathbf{X})^{-1} \mathbf{X}^T \mathbf{Y}_k \quad (3)$$

عناصر ماتریس $\hat{\mathbf{B}}_k$ نیز از روابط زیر محاسبه می‌شوند:

$$\hat{\beta}_{jk} = \bar{y}_{jk} - \hat{\beta}_{1k} \bar{x} \quad (4)$$

$$\hat{\beta}_{1jk} = \frac{S_{xj(j)}}{S_{xx}}; j = 1, 2, \dots, p \quad (5)$$

$$S_{xj(j)} = \sum_{i=1}^n y_{ijk} (x_i - \bar{x}), \bar{x} = \frac{1}{n} \sum_{i=1}^n x_i, \bar{y}_{jk} = \sum_{i=1}^n y_{ijk} \text{ و } S_{xx} = \sum_{i=1}^n (x_i - \bar{x})^2.$$

۳. نمودارهای کنترل پیشنهادی مبتنی بر رویکرد میانگین پیش‌رونده

در این بخش نمودارهای مبتنی بر رویکرد میانگین پیش‌رونده برای پایش پروفایل‌های خطی ساده چندمتغیره ارائه می‌شوند.

چندمتغیره تحت مشاهدات انفرادی ارائه کردند. پایش بردار میانگین و ماتریس کوواریانس پروفایل‌های خطی ساده چندمتغیره در فاز دو، با در نظر گرفتن خودهمبستگی درونی مشاهدات توسط [۶] بررسی شد. [۷] یک نمودار EWMA تطبیقی به منظور پایش پروفایل‌های خطی چندگانه چندمتغیره در فاز کردند. [۸] سه نمودار برای پایش پروفایل‌های خطی چندگانه چندمتغیره در فاز دو و با در نظر گرفتن خودهمبستگی مشاهدات پیشنهاد نمودند. به منظور اطلاعات بیشتر در زمینه پروفایل‌های خطی چندمتغیره، به مراجع [۱۵-۱۶] مراجعه شود.

امروزه با افزایش انتظارات مشتری، کشف تغییرات کوچک و متوسط از اهمیت بالایی برخوردار شده است. رویکردهای زیادی برای کشف این تغییرات در پژوهش‌های صورت گرفته ارائه شده است که از آن جمله می‌توان به نمودارهای با حافظه مانند نمودار EWMA و جمع تجمعی، نمودارهای کنترل تطبیقی، قوانین حساس‌سازی و اخیراً نمودارهای کنترل پیش‌رونده اشاره کرد. نمودار کنترل پیش‌رونده که توسط مرجع [۱۶] ارائه شده است، در کشف تغییرات کوچک و متوسط بهتر از دیگر نمودارهای با حافظه عمل می‌کند. نمودار کنترل میانگین پیش‌رونده، یک میانگین تجمعی در طول زمان است. تفاوت بین نمودارهای کنترل میانگین پیش‌رونده و میانگین متحرک این است که در نمودار میانگین متحرک، یک فاصله ثابت حرکتی وجود دارد که به آن دامنه گفته می‌شود. به طوری که در هر دوره تعدادی از مشاهدات قبلی حذف می‌شوند. بنابراین، در رویکرد پیش‌رونده، هیچ مشاهداتی حذف نشده و در هر بار نمونه‌گیری از مشاهدات قبلی نیز استفاده می‌شود. می‌توان گفت که نمودار میانگین متحرک، یک مورد خاص از نمودار کنترل میانگین پیش‌رونده است. در سال‌های اخیر، نمودارهای میانگین پیش‌رونده به طور گسترده‌ای در پایش فرایند‌های مختلف استفاده شده‌اند که در ذیل به برخی از مهم‌ترین آنها اشاره شده است:

نمودار میانگین پیش‌رونده پواسون و به منظور پایش داده‌های شمارشی ارائه شد. [۱۷] او نشان داد که نمودار ارائه شده از نمودارهای رقیب شامل نمودارهای شوهارت، EWMA دوگانه و جمع تجمعی بهتر عمل می‌کند. [۱۸] به توسعه یک نمودار با حافظه ماکریم و بر اساس رویکرد میانگین پیش‌رونده برای پایش همزمان پارامترهای تمرکزوپراکنندگی مشخصه‌های کیفی نرم‌الاواز پرداختند. [۱۹] به معنفی نمودار میانگین پیش‌رونده دوگانه پرداختند. یک نمودار مبتنی بر رویکرد میانگین پیش‌رونده به منظور پایش زمان میان رویدادها توسط [۲۰] توسعه یافت. به منظور کسب اطلاعات بیشتر در زمینه نمودارهای میانگین پیش‌رونده، به مراجعی مانند [۲۱-۲۲] مراجعه شود.

پژوهش‌های صورت گرفته در این زمینه نشان می‌دهد که رویکرد میانگین پیش‌رونده به ندرت توسط محققین به منظور بهبود عملکرد نمودارهای پایش پروفایل به کار رفته است. در تنها تحقیق موجود در این زمینه، [۲۴] به معنفی یک نمودار با حافظه مبتنی بر رویکرد میانگین پیش‌رونده به منظور پایش همزمان پارامترهای پروفایل خطی ساده پرداختند. بر اساس آخرين پژوهش‌های صورت گرفته، تاکنون از نمودارهای میانگین پیش‌رونده برای پایش پروفایل خطی چند متغیره استفاده نشده است. بنابراین، با توجه به عملکرد رضایت‌بخش این رویکرد در کشف تغییرات کوچک و متوسط، در این پژوهش، سه نمودار میانگین پیش‌رونده به منظور پایش پروفایل‌های خطی ساده چند متغیره در فاز دو توسعه داده شده است. ساختار پژوهش حاضر به شرح زیر است: در بخش ۲، مدل پروفایل خطی ساده چند متغیره در کشف تغییرات کوچک در بخش ۳، نمودارهای پیشنهادی ارائه می‌شوند. در بخش ۴، عملکرد نمودارهای پیشنهادی بر اساس شبیه‌سازی مونت‌کارلو مورد بررسی قرار می‌گیرد. در بخش ۵، کاربرد روش پیشنهادی با استفاده از داده‌های واقعی صنعت خودروسازی تشریح

مقادیر مناسب پارامتر c را به ازای $\{168, 200, 370, 400, 500\}$ دست آورند. آماره نمودار MPM_a براساس موارد عنوان شده برای نمونه k ام به صورت زیر محاسبه می‌شود:

$$T_{\mathbf{PM}_{(k,\beta)}} = \mathbf{PM}_{(k,\beta)} \Sigma_{\mathbf{PM}_{(k,\beta)}}^{-1} \mathbf{PM}_{(k,\beta)}^T \quad (13)$$

نمودار MPM_a زمانی که $T_{\mathbf{PM}_{(k,\beta)}} > h_\beta$ باشد، هشدار خارج از کنترل صادر می‌نماید که در آن h_β حد کنترل بالای نمودار بوده و مقدار آن با استفاده از شبیه‌سازی به نحوی تعیین می‌شود که ARL_0 برابر مقداری مشخص شود.

۲.۳. رویکرد نمودار کنترل میانگین پیش‌روندی بر اساس پارامتر خطای MPM_e

این نمودار بر اساس مقادیر خطای طراحی می‌شود. فرض می‌شود در نمونه k ام، $\bar{\varepsilon}_k = (\bar{\varepsilon}_{1k}, \bar{\varepsilon}_{2k}, \dots, \bar{\varepsilon}_{pk})$ برداری به ابعاد $p \times 1$ شامل عناصر خطای باشد که عناصر آن به صورت $\bar{\varepsilon}_{jk} = \frac{\sum_{i=1}^n \varepsilon_{ijk}}{n}; j = 1, \dots, p$ محاسبه می‌شوند. در این صورت، $\bar{\varepsilon}_m = (\bar{\varepsilon}_{1m}, \bar{\varepsilon}_{2m}, \dots, \bar{\varepsilon}_{pm}); m = 1, \dots, k$ از توزیع نرمال p متغیره با بردار میانگین صفر و ماتریس کوواریانس کوواریانس مشخص $\Sigma_{\bar{\varepsilon}} = \frac{\Sigma}{n}$ پیروی می‌کند. در این صورت، ابتدا بردار میانگین تجمعی بر اساس نمونه اول تا نمونه k ام به صورت رابطه ۱۴ محاسبه می‌شود.

$$\mathbf{PM}_{(k,\varepsilon)} = \frac{\sum_{m=1}^k \bar{\varepsilon}_m}{k}; k = 1, 2, \dots \quad (14)$$

که در $\mathbf{PM}_{(k,\varepsilon)}$ دارای توزیع نرمال p متغیره با بردار میانگین صفر و ماتریس کوواریانس $\Sigma_{\mathbf{PM}_{(k,\varepsilon)}} = \frac{1}{nk} \Sigma$ است. همان‌طور که اشاره شد، حدود کنترل نمودار میانگین پیش‌روندی با افزایش k نسبت به واریانس آماره پهن شده و احتمال کشف رخداد خطای طور قابل توجهی کاهش می‌یابد. برای رفع این مشکل، تابع جریمه معروفی شده توسط [۱۶] به کارگرفته شده و واریانس آماره MPM_e به صورت $\Sigma = \frac{1}{nk} \left(\frac{c}{f(k)} \right) \Sigma_{\mathbf{PM}_{(k,\varepsilon)}}$ بازنویسی می‌شود که در آن $f(k)$ تابع جریمه بوده و براساس بررسی انجام شده توسط [۱۶] مقدار $k^{1/2}$ را بهترین گزینه برای بهینه کردن ویژگی طول دنباله نمودار نشان داده است. همچنین، مقدار مناسب ثابت c به ازای مقادیر رایج ARL_0 توسط [۱۶] محاسبه شده است. در انتها، آماره MPM_e برای نمونه k ام طبق رابطه ۱۵ محاسبه می‌شود:

$$T_{\mathbf{PM}_{(k,\varepsilon)}} = \mathbf{PM}_{(k,\varepsilon)} \Sigma_{\mathbf{PM}_{(k,\varepsilon)}}^{-1} \mathbf{PM}_{(k,\varepsilon)}^T \quad (15)$$

نمودار MPM_e هنگامی که $T_{\mathbf{PM}_{(k,\varepsilon)}} > h_\varepsilon$ باشد، هشدار خارج از کنترل اعلام می‌کند که h_ε با استفاده از شبیه‌سازی و برای دستیابی به مقدار ARL_0 مشخص به دست می‌آید.

۳. نمودار کنترل ترکیبی MPM_a و MPM_e

همان‌طور که مشاهده شد، آماره نمودار MPM_a برای نمونه k ام بر اساس محاسبه اختلاف میان بردارهای مقادیر برآورده شده و اسمی ضرایب رگرسیونی نمونه‌های ۱ تا k و سپس محاسبه میانگین مقادیر حاصل به دست می‌آید. بنابراین، انتظار می‌رود که این نمودار عملکرد مناسبی در کشف تغییرات ضرایب رگرسیونی پروفایل از خود نشان دهد. از طرف دیگر، آماره نمودار MPM_e برای نمونه k ام بر حسب میانگین حسابی ثابت c به ازای مقادیر رایج متوسط طول دنباله تحت کنترل (ARL_0) پرداختند و

۱.۳. رویکرد نمودار کنترل میانگین پیش‌روندی بر اساس پارامترهای MPM_a

به منظور طراحی نمودار کنترل، ابتدا ماتریس $\hat{\beta}_k$ به صورت یک بردار تصادفی نرمال به ابعاد $2p \times 1$ به صورت رابطه ۷ بازنویسی می‌شود:

$$\hat{\beta}_k = (\hat{\beta}_{0,k}, \hat{\beta}_{0,1k}, \dots, \hat{\beta}_{0,pk}, \hat{\beta}_{1,k}, \dots, \hat{\beta}_{1,pk}) \quad (6)$$

به طور یکه $\hat{\beta}_k$ برداری $2p \times 1$ با بردار میانگین زیر است:

$$E(\hat{\beta}_k) = (\beta_{0,1}, \beta_{0,2}, \dots, \beta_{0,p}, \beta_{1,1}, \beta_{1,2}, \dots, \beta_{1,p}) \quad (7)$$

همچنین ماتریس کوواریانس $\hat{\beta}_k$ که با $\Sigma_{\hat{\beta}_k}$ نشان داده می‌شود، ماتریسی با ابعاد $2p \times 2p$ بوده که عناصر آن با استفاده از روابط زیر محاسبه می‌شوند:

$$Cov(\hat{\beta}_{0,uk}, \hat{\beta}_{0,vk}) = \sigma_{uv} \left(\frac{1}{n} + \frac{\bar{x}}{S_{xx}} \right) \quad (8)$$

$$Cov(\hat{\beta}_{1,uk}, \hat{\beta}_{1,vk}) = \frac{\sigma_{uv}}{S_{xx}} \quad (9)$$

$$Cov(\hat{\beta}_{0,uk}, \hat{\beta}_{1,vk}) = -\sigma_{uv} \frac{\bar{x}}{S_{xx}} \quad (10)$$

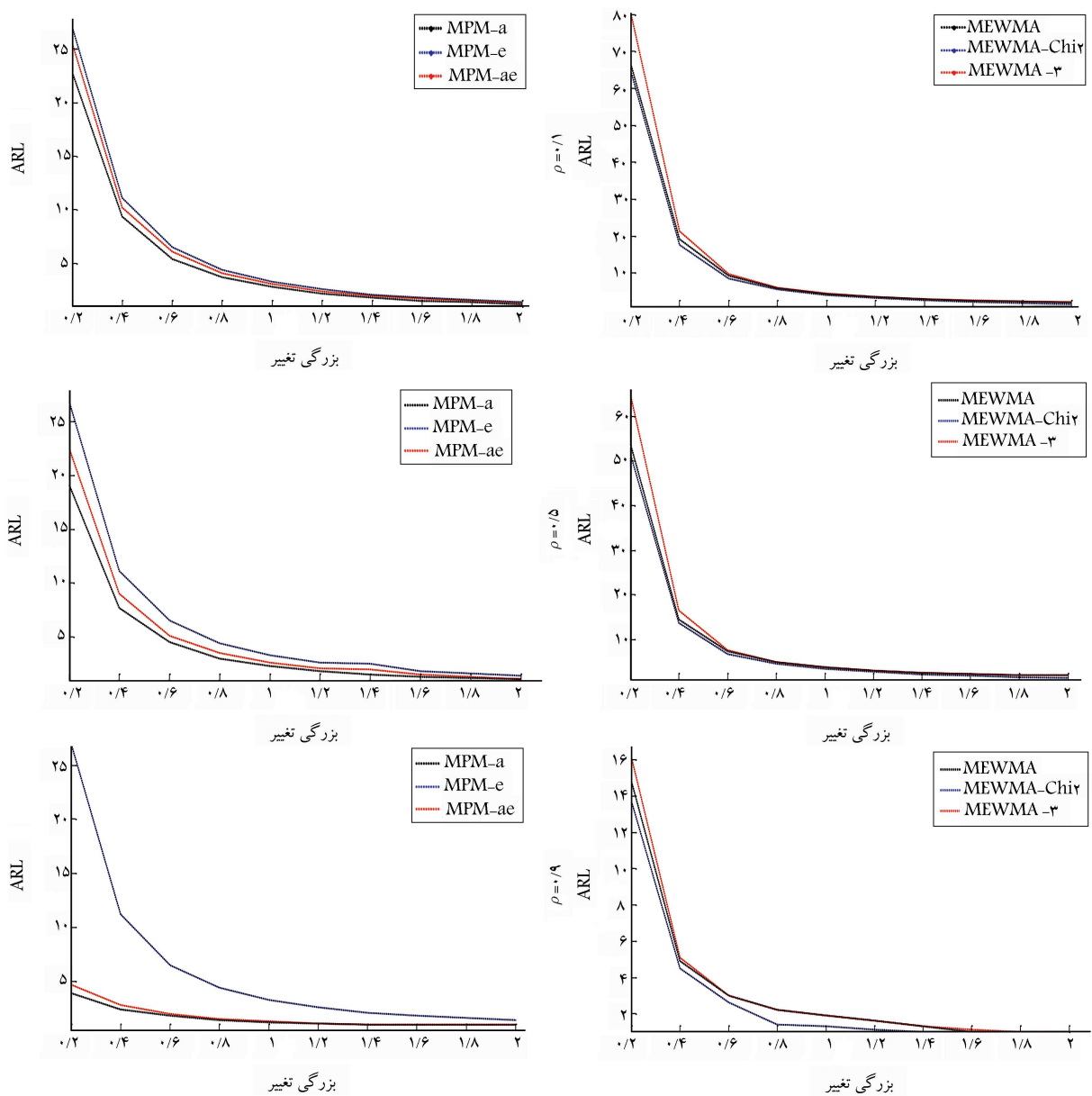
که در آن σ_{uv} عنصر واقع در سطر u و ستون v ام ماتریس Σ می‌باشد. نمودار پیش‌روندی، پارامترهای پروفایل چند متغیره را به طور مستقیم پایش می‌کند. برای رسیدن به این هدف، نمودار میانگین پیش‌روندی که توسط [۱۶] مطرح شد، مورد استفاده قرار گرفته که در آن برای نمونه k ام داریم:

$$\mathbf{PM}_{(k,\beta)} = \frac{\sum_{m=1}^k (\hat{\beta}_m - \beta)}{k}; k = 1, 2, \dots \quad (11)$$

به طوری که $\beta = (\beta_{0,1}, \beta_{0,2}, \dots, \beta_{0,p}, \beta_{1,1}, \beta_{1,2}, \dots, \beta_{1,p})$. همان‌طور که اشاره شد، بردارهای ضرایب رگرسیونی برآورده شده $\hat{\beta}_m$ دارای توزیع نرمال $2p$ متغیره با بردار میانگین β و ماتریس کوواریانس $\Sigma_{\hat{\beta}_m}$ می‌باشند. به طور معادل، بردارهای اختلاف k از توزیع نرمال $2p$ با $\hat{\beta}_m - \beta; m = 1, \dots, k$ را بهترین گزینه برای بهینه کردن ویژگی طول دنباله نمودار نشان داده است. همچنین، مقدار مناسب ثابت c به طوری که $\mathbf{PM}_{(k,\beta)}$ دارای بردار میانگین صفر و ماتریس کوواریانس $\Sigma_{\hat{\beta}_k}$ می‌باشد. بنابراین، بردار میانگین پیش‌روندی برای مقادیر بزرگ k دارای حدود کنترل پنهان نسبت به واریانس آماره خواهد بود. از آنجا که احتمال بروز هشدار خارج از کنترل برای مقادیر بزرگ k کاهش می‌یابد، از یک تابع جریمه برای تعديل فاصله حدود کنترل نسبت به واریانس آماره استفاده نمودند. برای اساس واریانس آماره $MPM_{(k,\beta)}$ به منظور کاهش نسبی فاصله حدود کنترل نسبت به مقدار آماره بر اساس [۱۶] به صورت زیر در نظر گرفته می‌شود:

$$\Sigma_{\mathbf{PM}_{(k,\beta)}} = \left(\frac{1}{k} \right) \left(\frac{c}{f(k)} \right) \Sigma_{\hat{\beta}_k} \quad (12)$$

مرجع [۱۶] گزینه‌های مختلفی را برای تابع جریمه $f(k)$ بررسی کرده و دریافتند که تابع جریمه $k^{1/2}$ بهترین گزینه برای بهینه کردن ویژگی طول دنباله نمودار کنترل میانگین پیش‌روندی است. سپس، برای این تابع جریمه به جستجو برای یافتن مقدار مناسب ثابت c به ازای مقادیر رایج متوسط طول دنباله تحت کنترل (ARL_0) پرداختند و



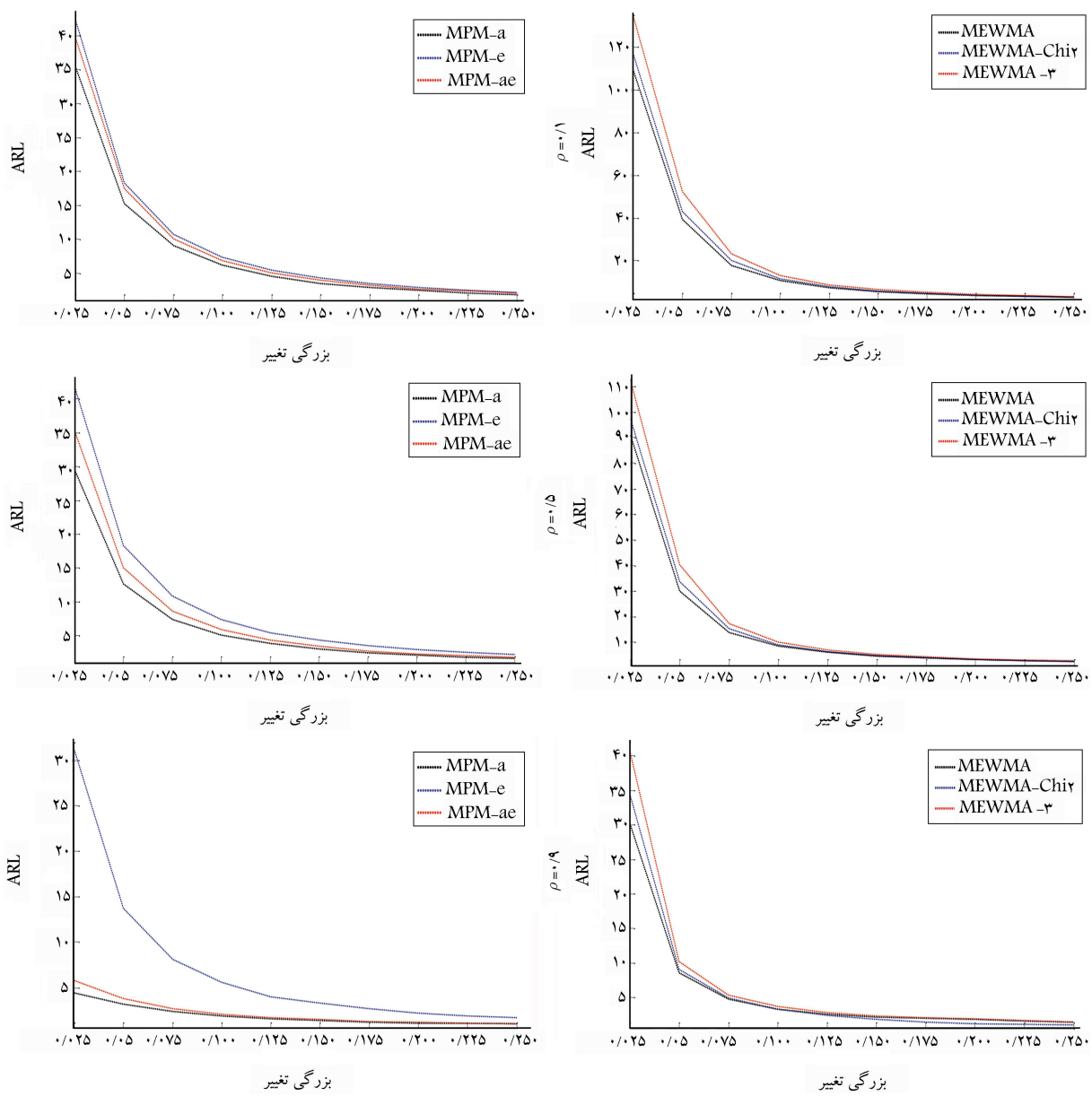
شکل ۱. مقادیر ARL تحت تغییرات عرض از مبدأ پروفایل اول از مبدأ پروفایل اول از $\beta_{0,1} + \lambda_0 \sigma_1$.

مقادیر خطاب محاسبه می‌شوند که این امر باعث می‌شود که این نمودار، عملکرد مناسبی را داشته باشد. بنابراین، در شرایطی که وقوع انحراف با دلیل بتواند به طور همزمان ضرایب رگرسیونی و پراکندگی غلزنیدگی داشته باشد، نمودار کنترل MPM_a/MPM_e بر اساس ترکیب دو نمودار کنترل MPM_a و MPM_e می‌تواند کارایی بالایی در تشخیص خطا از خود نشان دهد.

در این روش، ابتدا برای نمونه k ام، بردار میانگین $\mathbf{PM}_{(k,\beta)}$ بر اساس رابطه ۱۱ محاسبه می‌شود که $\mathbf{PM}_{(k,\beta)} = \mathbf{P} \mathbf{M}_{(k,\beta)} \mathbf{P}$ یک بردار تصادفی نرمال چند متغیره با بردار میانگین صفر و ماتریس کوواریانس $\Sigma_{\mathbf{PM}_{(k,\beta)}} = \frac{1}{k} \left(\frac{c}{f(k)} \right) \Sigma$ است. بنابراین آماره MPM_a برای نمونه k ام طبق رابطه ۱۳ محاسبه می‌شود. همچنین، به منظور پایش تغییرپذیری، از نمودار MPM_e استفاده می‌شود. از آنجا که $\mathbf{PM}_{(k,\beta)}$ یک بردار تصادفی نرمال چند متغیره با بردار میانگین صفر و ماتریس کوواریانس

۴. ارزیابی عملکرد

در این بخش، عملکرد نمودارهای پیشنهادی برای پایش پروفایل‌های خطی چند متغیره در فاز دو، بر اساس 10^{000} بار شیوه‌سازی مونتکارلو بر حسب شاخص متوسط طول دنباله خارج از کنترل (ARL_1) ارزیابی شده و عملکرد آن‌ها در کشف تغییرات مختلف در پارامترهای مدل پروفایل خطی ساده چندمتغیره با نمودارهای ارائه



شکل ۲. مقادیر ARL تحت تغییرات شیب پروفایل اول از $\beta_{11} + \lambda_{1\sigma_1}$.

توسط^[۲۵] حد کنترل آنها به نحوی تنظیم می‌شود که مقدار ARL تمامی آنها یکسان شود. برای این منظور و دستیابی به $ARL = 200$ ، حد کنترل نمودارهای MPM_a و MPM_e به ترتیب برابر $13/67$ و $6/58$ انتخاب شدند. در روش MPM_a/MPM_e ، از آنجا که دو نمودار به صورت توأم استفاده می‌شوند، از رابطه^(۲) $(1 - \alpha') = 1 - \alpha$ برای دستیابی به $0/005 = \alpha$ و به طور معادل استفاده می‌شود. در این صورت، مقدار احتمال خطای نوع اول $ARL_c = 20$ با نمودار برابر $Y_1 = 3 + 2x + \varepsilon_1$ و $Y_2 = 2 + x + \varepsilon_2$ در نظر گرفته شده است. در هر نمونه، $n = 4$ مشاهده وجود دارد و مقادیر $2, 4, 6$ و 8 به عنوان مقادیر ثابت x در نظر گرفته شده است. همچنین بردار عناصر خطای $(\varepsilon_1, \varepsilon_2)$ ، دارای توزیع نرمال دو متغیره است. لازم به ذکر است که مقادیر دقیق ARL_c نمودارهای پیشنهادی MPM_a و MPM_e به ترتیب برابر با $0/0272, 200/0272, 1999/9528$ و $200/2866$ می‌باشند. نتایج حاصل شده در شکل‌های ۱ و ۲ و جداول ۱ تا ۵ گزارش شده‌اند. شکل ۱ مقادیر ARL را برای تغییرات عرض از مبدأ اولین

شده توسط^[۲۵] مقایسه می‌شود. به منظور مقایسه عادلانه، مقدار متوسط طول دنباله تحت کنترل برابر 200 در نظر گرفته می‌شود که این مقدار معادل با احتمال خطای نوع اول برابر $0/005 = \alpha$ است. همچنین، مقدار ضریب هموارسازی نمودارهای کنترل رقیب، براساس پژوهش‌های صورت گرفته برابر $2/0$ در نظر گرفته شده است. مدل پروفایل خطی ساده چند متغیره تحت کنترل مفروض نیز به صورت شده است. مدل پروفایل خطی ساده چند متغیره تحت کنترل مفروض نیز به صورت $Y_1 = 3 + 2x + \varepsilon_1$ و $Y_2 = 2 + x + \varepsilon_2$ در نظر گرفته شده است. در هر نمونه، $n = 4$ مشاهده وجود دارد و مقادیر $2, 4, 6$ و 8 به عنوان مقادیر ثابت x در نظر گرفته شده است. همچنین بردار عناصر خطای $(\varepsilon_1, \varepsilon_2)$ ، دارای توزیع نرمال دو متغیره با بردار میانگین صفر و ماتریس کوواریانس $\Sigma = \begin{bmatrix} \sigma_1^2 & \rho\sigma_1\sigma_2 \\ \rho\sigma_1\sigma_2 & \sigma_2^2 \end{bmatrix}$ بوده که در آن $1 = \sigma_1^2 = \sigma_2^2$ و ضریب ρ برابر $1/5, 0/9$ و $0/6$ تنظیم می‌شوند. به منظور مقایسه عادلانه عملکرد نمودارهای ارائه شده با نمودارهای پیشنهادی

جدول ۱. مقادیر ARL تحت تغییرات همزمان در عرض از مبدأ دو پروفایل $\beta_{01} + \lambda_0 \sigma_1$ به $\beta_{02} + \delta_0 \sigma_2$ و از β_{01} به β_{02}

δ_0					نمودار کنترل	δ_0					نمودار کنترل	λ_0
.۰/۵	.۰/۴	.۰/۳	.۰/۲	.۰/۱		.۰/۵	.۰/۴	.۰/۳	.۰/۲	.۰/۱		
۶/۴	۸/۹	۱۳/۴	۲۲/۳	۴۳/۰	MPM _a	۱۱/۵	۱۷/۷	۳۲/۴	۶۶/۰	۱۲۵/۶	MEWMA	.۰/۱
۹/۳	۱۲/۸	۱۹/۰	۳۲/۵	۵۹/۴	MPM _e	۱۰/۵	۱۶/۷	۳۰/۳	۶۴/۹	۱۲۴/۳	MEWMA/ χ^2	
۷/۵	۱۰/۴	۱۵/۵	۲۶/۸	۴۹/۳	MPM _{ae}	۱۲/۳	۲۰/۲	۳۹/۱	۸۲/۳	۱۴۳/۸	MEWMA-3	
۶/۹	۹/۴	۱۳/۴	۱۹/۳	۲۲/۳	MPM _a	۱۲/۴	۱۹/۴	۳۲/۶	۵۲/۷	۶۶/۶	MEWMA	.۰/۲
۹/۹	۱۳/۶	۱۹/۲	۲۷/۰	۳۲/۰	MPM _e	۱۱/۶	۱۸/۲	۳۰/۲	۵۱/۷	۶۵/۹	MEWMA/ χ^2	
۸/۰	۱۱/۰	۱۵/۸	۲۲/۵	۲۷/۱	MPM _{ae}	۱۳/۵	۲۲/۰	۳۹/۰	۶۵/۸	۸۲/۱	MEWMA-3	
۶/۹	۸/۹	۱۱/۳	۱۳/۴	۱۳/۳	MPM _a	۱۲/۶	۱۷/۸	۲۵/۲	۳۲/۷	۳۲/۰	MEWMA	.۰/۳
۱۰/۰	۱۲/۹	۱۶/۲	۱۹/۳	۱۹/۲	MPM _e	۱۱/۵	۱۶/۳	۲۴/۰	۳۰/۵	۳۰/۳	MEWMA/ χ^2	
۸/۱	۱۰/۴	۱۳/۳	۱۵/۵	۱۵/۴	MPM _{ae}	۱۳/۶	۱۹/۹	۲۹/۹	۳۷/۵	۳۹/۳	MEWMA-3	
۶/۴	۷/۷	۸/۸	۹/۴	۸/۸	MPM _a	۱۱/۴	۱۴/۴	۱۷/۸	۱۹/۳	۱۸/۰	MEWMA	.۰/۴
۹/۳	۱۱/۲	۱۲/۹	۱۳/۶	۱۲/۹	MPM _e	۱۰/۷	۱۳/۷	۱۶/۶	۱۷/۹	۱۶/۸	MEWMA/ χ^2	
۷/۵	۹/۱	۱۰/۴	۱۰/۹	۱۰/۴	MPM _{ae}	۱۲/۴	۱۶/۱	۲۰/۳	۲۱/۸	۲۰/۰	MEWMA-3	
۵/۷	۶/۴	۶/۹	۶/۸	۶/۴	MPM _a	۹/۹	۱۱/۵	۱۲/۴	۱۲/۵	۱۱/۵	MEWMA	.۰/۵
۸/۳	۹/۳	۹/۹	۹/۹	۹/۳	MPM _e	۹/۳	۱۰/۶	۱۱/۵	۱۱/۶	۱۰/۸	MEWMA/ χ^2	
۶/۷	۷/۴	۸/۱	۸/۰	۷/۵	MPM _{ae}	۱۰/۲	۱۲/۲	۱۳/۴	۱۳/۷	۱۲/۳	MEWMA-3	

 جدول ۲. مقادیر ARL تحت تغییرات مختلف در انحراف معیار پروفایل اول از σ_1 به σ_2 .

γ											نمودار کنترل	ρ
۳/۰	۲/۸	۲/۶	۲/۴	۲/۲	۲/۰	۱/۸	۱/۶	۱/۴	۱/۲			
۴/۱	۴/۷	۵/۴	۶/۴	۷/۹	۱۰/۱	۱۴/۰	۲۰/۵	۳۵/۴	۷۵/۰	MEWMA	.۰/۱	
۱/۴	۱/۶	۱/۷	۲/۰	۲/۴	۳/۲	۴/۸	۸/۲	۱۷/۲	۵۱/۵	MEWMA/ χ^2		
۱/۹	۲/۰	۲/۲	۲/۵	۲/۹	۳/۴	۴/۴	۶/۴	۱۱/۴	۳۳/۱	MEWMA-3		
۲/۴	۲/۷	۳/۳	۴/۲	۵/۶	۸/۲	۱۲/۴	۲۲/۶	۴۳/۴	۹۳/۰	MPM _a	.۰/۲	
۱/۴	۱/۵	۱/۸	۲/۱	۲/۷	۳/۹	۶/۲	۱۱/۶	۲۵/۰	۶۸/۲	MPM _e		
۱/۰	۱/۷	۲/۰	۲/۴	۳/۲	۴/۵	۷/۵	۱۳/۶	۲۹/۵	۷۳/۰	MPM _a /MPM _e		
۳/۶	۴/۱	۴/۸	۵/۸	۷/۱	۹/۱	۱۲/۴	۱۸/۸	۳۲/۹	۶۹/۸	MEWMA	.۰/۳	
۱/۳	۱/۴	۱/۶	۱/۸	۲/۲	۲/۸	۴/۲	۷/۲	۱۶/۰	۴۷/۹	MEWMA/ χ^2		
۱/۷	۱/۹	۲/۱	۲/۴	۲/۷	۳/۲	۴/۱	۶/۰	۱۰/۷	۳۱/۷	MEWMA-3		
۱/۹	۲/۱	۲/۵	۳/۰	۳/۷	۵/۴	۷/۸	۱۳/۶	۲۷/۹	۶۷/۶	MPM _a	.۰/۴	
۱/۴	۱/۵	۱/۷	۲/۱	۲/۷	۳/۸	۶/۳	۱۱/۱	۲۴/۷	۶۵/۲	MPM _e		
۱/۴	۱/۶	۱/۸	۲/۱	۲/۸	۳/۹	۶/۳	۱۱/۳	۲۴/۰	۶۵/۶	MPM _a /MPM _e		
۱/۹	۲/۱	۲/۴	۲/۹	۳/۵	۴/۴	۶/۲	۹/۶	۱۸/۳	۴۹/۸	MEWMA	.۰/۵	
۱/۱	۱/۱	۱/۲	۱/۲	۱/۳	۱/۶	۲/۰	۳/۱	۶/۹	۲۸/۳	MEWMA/ χ^2		
۱/۲	۱/۳	۱/۴	۱/۵	۱/۷	۲/۰	۲/۵	۳/۵	۶/۲	۲۰/۵	MEWMA-3		
۱/۱	۱/۱	۱/۱	۱/۲	۱/۳	۱/۴	۱/۵	۱/۷	۲/۲	۲/۱	MPM _a	.۰/۶	
۱/۴	۱/۵	۱/۷	۲/۰	۲/۷	۳/۸	۶/۲	۱۱/۱	۲۴/۲	۶۴/۴	MPM _e		
۱/۱	۱/۱	۱/۱	۱/۲	۱/۳	۱/۴	۱/۶	۱/۹	۲/۷	۴/۱	MPM _a /MPM _e		

جدول ۳. مقادیر ARL تحت تغییرات همزمان در شبیب هر دو پروفایل از $\beta_{11} + \lambda_1\sigma_1$ به $\beta_{01} + \lambda_0\sigma_1$ و از $\beta_{12} + \lambda_1\sigma_2$ به $\beta_{02} + \lambda_0\sigma_2$.

δ_1						نمودار کنترل	δ_1					نمودار کنترل	λ_1
۰/۱۰	۰/۰۸	۰/۰۶	۰/۰۴	۰/۰۲			۰/۱۰	۰/۰۸	۰/۰۶	۰/۰۴	۰/۰۲		
۵/۷	۷/۷	۱۱/۸	۲۰/۰	۳۸/۵	MPM _a	۹/۸	۱۴/۹	۲۸/۹	۵۸/۶	۱۱۶/۶	MEWMA	۰/۰۲	
۸/۳	۱۱/۴	۱۷/۳	۲۸/۸	۵۲/۷	MPM _e	۱۰/۵	۱۶/۷	۳۰/۶	۶۶/۵	۱۲۵/۶	MEWMA/ χ^2		
۶/۶	۹/۱	۱۳/۹	۲۳/۹	۴۶/۳	MPM _{ae}	۱۱/۸	۱۸/۷	۳۵/۳	۷۶/۶	۱۳۵/۹	MEWMA-3		
۸/۱	۸/۲	۱۱/۸	۱۷/۰	۱۹/۸	MPM _a	۱۰/۶	۱۶/۱	۲۷/۰	۴۵/۳	۵۸/۵	MEWMA	۰/۰۴	
۸/۹	۱۲/۰	۱۷/۲	۲۴/۵	۲۸/۹	MPM _e	۱۱/۵	۱۸/۰	۳۰/۹	۴۹/۷	۶۴/۲	MEWMA/ χ^2		
۷/۱	۹/۶	۱۳/۹	۲۰/۰	۲۴/۰	MPM _{ae}	۱۳/۰	۲۰/۳	۳۶/۱	۵۹/۶	۷۷/۰	MEWMA-3		
۶/۱	۷/۷	۱۰/۰	۱۱/۶	۱۱/۸	MPM _a	۱۰/۶	۱۴/۷	۲۱/۴	۲۶/۹	۲۷/۱	MEWMA	۰/۰۶	
۸/۸	۱۱/۴	۱۴/۶	۱۷/۰	۱۷/۱	MPM _e	۱۱/۶	۱۶/۵	۲۲/۶	۳۰/۴	۳۰/۳	MEWMA/ χ^2		
۷/۰	۹/۲	۱۱/۹	۱۳/۹	۱۴/۰	MPM _{ae}	۱۳/۱	۱۹/۱	۲۷/۷	۳۵/۵	۳۵/۳	MEWMA-3		
۵/۷	۶/۸	۷/۷	۸/۳	۷/۹	MPM _a	۹/۸	۱۲/۸	۱۵/۰	۱۶/۳	۱۵/۰	MEWMA	۰/۰۸	
۸/۲	۹/۹	۱۱/۴	۱۲/۱	۱۱/۴	MPM _e	۱۰/۵	۱۳/۸	۱۶/۵	۱۷/۹	۱۶/۴	MEWMA/ χ^2		
۶/۶	۸/۰	۹/۱	۹/۷	۹/۲	MPM _{ae}	۱۱/۸	۱۵/۲	۱۹/۰	۲۰/۳	۱۸/۹	MEWMA-3		
۵/۱	۵/۷	۶/۱	۶/۰	۵/۷	MPM _a	۸/۵	۹/۹	۱۰/۶	۱۰/۵	۹/۹	MEWMA	۰/۱۰	
۷/۴	۸/۳	۸/۸	۸/۸	۸/۳	MPM _e	۹/۰	۱۰/۶	۱۱/۷	۱۱/۶	۱۰/۴	MEWMA/ χ^2		
۵/۸	۶/۶	۷/۱	۷/۰	۶/۵	MPM _{ae}	۱۰/۱	۱۱/۹	۱۳/۰	۱۳/۲	۱۱/۸	MEWMA-3		

 جدول ۴. مقادیر ARL تحت تغییرات همزمان در پارامترهای پروفایل اول از $\beta_{01} + \lambda_0\sigma_1$ به $\beta_{11} + \lambda_1\sigma_1$ و از $\beta_{02} + \lambda_0\sigma_2$ به $\beta_{12} + \lambda_1\sigma_2$.

λ_1						نمودار کنترل	λ_1					نمودار کنترل	λ_0
۰/۱۰	۰/۰۸	۰/۰۶	۰/۰۴	۰/۰۲			۰/۱۰	۰/۰۸	۰/۰۶	۰/۰۴	۰/۰۲		
۴/۱	۵/۳	۷/۲	۱۰/۶	۱۸/۴	MPM _a	۶/۷	۸/۹	۱۲/۲	۲۳/۳	۵۱/۴	MEWMA	۰/۱	
۶/۰	۷/۷	۱۰/۵	۱۵/۴	۲۶/۳	MPM _e	۶/۸	۹/۱	۱۳/۶	۲۴/۰	۵۰/۹	MEWMA/ χ^2		
۴/۷	۶/۱	۸/۴	۱۲/۴	۲۲/۰	MPM _{ae}	۷/۵	۱۰/۲	۱۵/۷	۲۸/۹	۶۴/۰	MEWMA-3		
۳/۴	۴/۲	۵/۴	۷/۵	۱۱/۰	MPM _a	۵/۵	۶/۹	۹/۳	۱۳/۸	۲۴/۸	MEWMA	۰/۲	
۵/۰	۶/۱	۷/۹	۱۰/۹	۱۶/۲	MPM _e	۵/۴	۶/۷	۹/۰	۱۳/۳	۲۳/۹	MEWMA/ χ^2		
۳/۹	۴/۹	۶/۴	۸/۸	۱۳/۰	MPM _{ae}	۵/۹	۷/۶	۱۰/۴	۱۵/۹	۲۹/۴	MEWMA-3		
۲/۹	۳/۵	۴/۳	۵/۶	۷/۷	MPM _a	۴/۶	۵/۶	۷/۱	۹/۶	۱۴/۸	MEWMA	۰/۳	
۴/۲	۵/۱	۶/۲	۸/۱	۱۱/۱	MPM _e	۴/۴	۵/۴	۶/۹	۹/۰	۱۳/۷	MEWMA/ χ^2		
۳/۳	۴/۰	۵/۰	۶/۴	۸/۹	MPM _{ae}	۴/۹	۵/۹	۷/۶	۱۰/۴	۱۶/۱	MEWMA-3		
۲/۶	۳/۰	۳/۶	۴/۴	۵/۷	MPM _a	۴/۰	۴/۷	۵/۷	۷/۲	۹/۹	MEWMA	۰/۴	
۳/۷	۴/۳	۵/۲	۶/۴	۸/۲	MPM _e	۳/۸	۴/۵	۵/۵	۸/۷	۹/۲	MEWMA/ χ^2		
۲/۹	۳/۴	۴/۱	۵/۱	۶/۶	MPM _{ae}	۴/۲	۴/۹	۶/۰	۷/۷	۱۰/۴	MEWMA-3		
۲/۲	۲/۶	۳/۰	۳/۶	۴/۵	MPM _a	۳/۶	۴/۱	۴/۸	۵/۸	۷/۳	MEWMA	۰/۵	
۲/۲	۳/۷	۴/۳	۵/۲	۶/۵	MPM _e	۳/۳	۳/۸	۴/۴	۵/۴	۶/۸	MEWMA/ χ^2		
۲/۵	۲/۹	۳/۴	۴/۱	۵/۱	MPM _{ae}	۳/۷	۴/۳	۴/۹	۶/۰	۷/۸	MEWMA-3		

جدول ۵. مقادیر ARL تحت تغییرات همزمان در انحراف معیار پروفایل‌های اول و دوم از σ_1 به $\sigma_1 + \lambda_1 \beta_1$ و از σ_2 به $\sigma_2 + \lambda_2 \beta_2$

γ_2						نمودار کنترل	γ_2					نمودار کنترل	γ_1
$1/5$	$1/4$	$1/3$	$1/2$	$1/1$			$1/5$	$1/4$	$1/3$	$1/2$	$1/1$		
$15/1$	$21/0$	$21/0$	$43/6$	$69/5$	MPM_a	$22/0$	$29/0$	$39/1$	$55/5$	$81/6$	MEWMA	$1/1$	
$12/5$	$18/2$	$27/5$	$42/7$	$68/3$	MPM_e	$8/9$	$13/0$	$20/7$	$34/7$	$59/5$	MEWMA/ χ^2		
$12/4$	$18/3$	$27/2$	$41/4$	$64/0$	MPM_{ae}	$8/6$	$8/6$	$12/4$	$19/7$	$38/0$	MEWMA-3		
$11/9$	$15/5$	$21/6$	$32/2$	$46/3$	MPM_a	$19/4$	$24/3$	$31/9$	$41/9$	$55/6$	MEWMA	$1/2$	
$9/6$	$13/5$	$19/4$	$28/2$	$41/8$	MPM_e	$7/5$	$10/4$	$15/3$	$22/8$	$34/3$	MEWMA/ χ^2		
$9/9$	$13/9$	$19/2$	$27/9$	$41/6$	MPM_{ae}	$5/6$	$7/0$	$9/3$	$13/2$	$20/0$	MEWMA-3		
$9/7$	$12/4$	$16/8$	$21/2$	$31/0$	MPM_a	$17/2$	$21/0$	$25/3$	$32/5$	$39/7$	MEWMA	$1/3$	
$7/8$	$9/9$	$13/9$	$19/4$	$27/5$	MPM_e	$6/1$	$8/2$	$11/1$	$15/4$	$20/1$	MEWMA/ χ^2		
$8/0$	$10/5$	$14/2$	$19/7$	$27/3$	MPM_{ae}	$4/9$	$5/8$	$7/2$	$9/2$	$12/3$	MEWMA-3		
$7/6$	$9/7$	$12/3$	$15/9$	$20/7$	MPM_a	$14/8$	$17/4$	$20/4$	$24/3$	$29/2$	MEWMA	$1/4$	
$6/0$	$7/7$	$10/2$	$13/3$	$18/1$	MPM_e	$5/1$	$6/4$	$8/4$	$10/4$	$12/9$	MEWMA/ χ^2		
$6/1$	$8/0$	$10/5$	$13/4$	$18/2$	MPM_{ae}	$4/3$	$4/9$	$5/8$	$7/0$	$8/7$	MEWMA-3		
$6/5$	$7/5$	$9/2$	$11/7$	$14/9$	MPM_a	$13/0$	$15/3$	$17/1$	$19/5$	$22/2$	MEWMA	$1/5$	
$5/0$	$6/1$	$7/8$	$9/9$	$12/5$	MPM_e	$4/3$	$5/1$	$6/3$	$7/5$	$8/9$	MEWMA/ χ^2		
$5/1$	$6/1$	$8/0$	$10/1$	$12/5$	MPM_{ae}	$3/8$	$4/3$	$4/8$	$5/6$	$6/6$	MEWMA-3		

مقادیر ARL_1 به دست آمده تحت تغییرات توان در پارامتر عرض از مبدأ هر دو پروفایل در جدول ۱ گزارش شده است. نتایج مستخرج حاکی از آن است که نمودار کنترل MPM_a عملکرد سیار رضایت‌بخشی در کشف تمامی تغییرات توان داشته و تحت تمامی مقادیر ρ از تمامی نمودارهای کنترل بهتر عمل می‌کند. همچنین نمودار ترکیبی MPM_{ae} عملکرد بهتری از نمودار میانگین پیش‌رونده بر اساس پارامتر خطای دارد و در کل نمودارهای ارائه شده عملکرد بهتری از نمودارهای پیشنهادی توسط $[25]$ دارد.

جدول ۲ نیز مقادیر ARL_1 استخراج شده به ازای تغییرات در انحراف معیار پروفایل اول از σ_1 به $\sigma_1 + \lambda_1 \beta_1$ در شکل ۲ به تصویر کشیده شده است. نتایج خلاف تغییرات در پارامترهای عرض از مبدأ و شبیه، تحت دو سناریوی $1/\rho = 0$ و $5/0 = \rho$ ، نمودارهای کنترل پیشنهادی از عملکرد ضعیف‌تری نسبت به نمودارهای رقیب برخوردارند. همچنین، در میان نمودارهای پیشنهادی، نمودار MPM_a تحت سناریوهای عنوان شده نسبت به سایر روش‌ها از توان بالاتری در کشف تغییرات پارامتر انحراف معیار برخوردار است. بنابراین، تحت سناریوی همبستگی شدید میان متغیرهای پاسخ ($9/\rho = 0$)، نمودارهای کنترل MPM_a بهتر عمل می‌کند. بعلاوه، روش دوم به ازای هر سه مقدار ρ در تغییرات مختلف عملکرد تقریباً یکسانی دارد، در حالی که نمودارهای اول و سوم با افزایش ρ عملکرد بهتری از خود نشان می‌دهند.

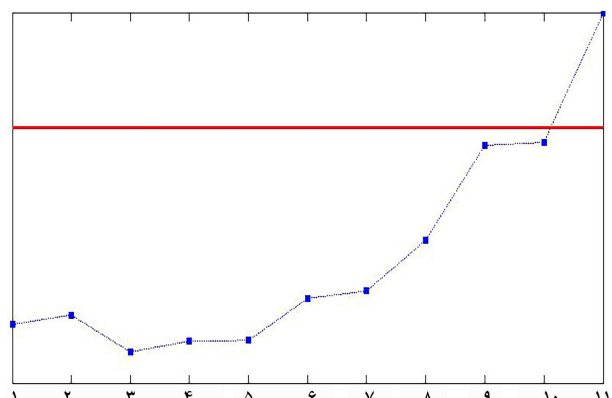
پروفایل از $\beta_1 = 0$ به $\beta_1 + \lambda_1 \sigma_1$ نشان می‌دهد. همان طور که مشاهده می‌شود، غیر از سناریوی $9/\rho = 0$ که در آن نمودار $MEWMA/x$ بهتر از روش MPM_e به عمل می‌کند، به ازای مقادیر مختلف ρ ، تمامی نمودارهای ارائه شده از عملکرد بهتری در کشف شیفت‌های مختلف نسبت به نمودارهای پیشنهادی توسط $[25]$ برخوردار هستند. همچنین عملکرد تمامی نمودارها با افزایش ρ بهبود می‌یابد. همچنین، نمودار MPM_e به طور یکنواخت بهتر از سایر نمودارهای پیشنهادی عمل می‌کند در حالی که ضعیف‌ترین عملکرد متعلق به نمودار e است.

مقادیر ARL_1 حاصل برای تغییرات مختلف در شبیه پروفایل اول از مقدار تحت کنترل $\beta_1 = 0$ به $\beta_1 + \lambda_1 \sigma_1$ در شکل ۲ به تصویر کشیده شده است. نتایج نشان می‌دهد که نمودار MPM_a و پس از آن نمودار ترکیبی MPM_{ae} به ازای تمامی مقادیر ρ بهترین عملکرد در کشف تمامی تغییرات مورد بررسی هستند. همچنین، با افزایش مقدار ρ ، عملکرد تمامی روش‌های پیشنهادی و نمودارهای رقیب بهبود می‌یابد. نکته حائز اهمیت دیگر، عملکرد نه چندان رضایت‌بخش نمودار MPM_e تحت سناریوی $9/\rho = 0$ است، به طوری که این نمودار، عملکرد ضعیف‌تری نسبت به روش $MEWMA$ دارد. نکته حائز اهمیت دیگر این است که تحت شیفت‌های کوچک، بهترین عملکرد در میان نمودارهای پیشنهادی توسط $[25]$ متعلق به نمودار $MEWMA$ بوده است، در حالی که با افزایش بزرگی شیفت، نمودار $MEWMA/x$ سریع‌ترین واکنش را نسبت به شیفت‌های بزرگ دارد.

$$\Sigma = \begin{bmatrix} 80,0 & 89,6 & 45,1 & 25,3 \\ 89,6 & 122,1 & 71,5 & 29,1 \\ 45,1 & 71,5 & 189,0 & -28,8 \\ 25,3 & 29,1 & -28,8 & 84,4 \end{bmatrix}$$

ماتریس کوواریانس پیروی

می‌کند. هر نمونه شامل یازده مقادیر فشار اسمی شامل $50, 80, 110, 140, 170, 200, 220, 240, 260, 280$ و 350 است. ابتدا با شبیه‌سازی، مقادیر حد بالای کنترل نمودار MPM_a برای دستیابی به $ARL_0 = 200$ تنظیم می‌شود. سپس، نمونه‌های خارج از کنترل که در آن پارامترهای عرض از مبدأ تمامی پروفایل‌ها به اندازه $5/5$ واحد انحراف معیار تغییر یافته‌اند تولید می‌شود. آماره‌های نمودار MPM_a متناظر با نمونه‌های تولید شده در شکل ۳ نشان داده شده‌اند. همانطور که مشاهده می‌شود، آماره مربوط به نمونه ۱۱ از حد کنترل نمودار فراتر رفته و نمودار کنترل MPM_a یک هشدار خارج از کنترل در نمونه یازدهم صادر می‌کند.



شکل ۳. آماره نمودار MPM_a برای داده‌های صنعت خودروسازی.

نتایج جداول ۳ و ۴ نشان می‌دهد که تحت تغییرات توان در پارامترهای دو پروفایل، عملکرد هر سه نمودار پیشنهادی از روش‌های موجود بهتر است که این موضوع تحت تمامی تغییرات برقرار است. در میان نمودارهای پیشنهادی، بهترین عملکرد بهتری از نمودارهای میانگین پیش‌رونده پیشنهادی دارد. همچنین، در دارای کمترین مقادیر ARL_1 است. نتایج تغییرات هم‌زمان در انحراف معیار $MEWMA - 3$ دو پروفایل در جدول ۵ بیانگر این موضوع است که نمودار ۳ عملکرد بهتری از نمودارهای میانگین پیش‌رونده پیشنهادی دارد. همچنین، در میان نمودارهای پیشنهادی، روش MPM_a ضعیف‌ترین عملکرد را در کشف شیفت‌های همزمان در انحراف معیار پروفایل‌های اول و دوم دارد. بنابراین، مقادیر ARL_1 استخراج شده نمودارهای پیشنهادی سیار به یکدیگر نزدیک بوده و تفاوت قابل توجهی میان سه نمودار پیشنهادی در کشف شیفت‌های اشاره شده وجود ندارد.

۶. نتیجه‌گیری و پیشنهادها برای پژوهش‌های آتی
در این پژوهش، سه نمودار پیش‌رونده MPM_{ae} , MPM_a و MPM_e ارائه شد. نتایج شبیه‌سازی نشان داد که نمودارهای پیشنهادی تحت تغییرات منفرد و توان در پارامترهای عرض از مبدأ و شبیب، از نمودارهای موجود عملکرد بهتری دارند. همچنین، تحت شیفت‌های عنوان شده در میان نمودارهای پیشنهادی، بهترین عملکرد متعلق به نمودار MPM_a بوده و پس از آن نمودار MPM_{ae} قرار دارد. در مجموع، نمودار MPM_e در شرایطی که انحراف با دلیل پارامترهای عرض از مبدأ و شبیب را تحت تأثیر قرار دهد، نسبت به سایر روش‌های پیشنهادی ضعیف‌تر عمل می‌کند. نکته حائز اهمیت دیگر این است که با افزایش ρ ، هر سه نمودار پیشنهادی با سرعت بیشتری نسبت به خطواکنش نشان می‌دهند. هنگامی که عامل انحراف باعث بروز تغییر در پارامترهای انحراف معیار شود، نمودارهای پیشنهادی از عملکرد به مرتب ضعیف‌تری نسبت به نمودار $MEWMA - 3$ برخوردارند. در این شرایط، برخلاف ستاره‌های شیفت در انحراف معیار و شبیب، نمودار MPM_a در میان نمودارهای موجود از عملکرد ضعیف‌تری نسبت به نمودارهای MPM_{ae} و MPM_e برخوردار است. توسعه نمودارهای ارائه شده در این پژوهش، برای پایش پروفایل‌های غیرخطی چندمتغیره به عنوان یک پیشنهاد آتی می‌تواند توسط محققین بررسی می‌شود. همچنین، در نظر گرفتن خودهمبستگی میان مشاهدات درون پروفایل می‌تواند به عنوان یک موضوع تحقیقاتی مورد توجه قرار گیرد.

۵. مطالعه موردی

در این بخش، کارایی نمودار MPM_a به دلیل عملکرد بهتر آن در کشف اغلب حالات‌های خارج از کنترل نسبت به نمودارهای دیگر بر اساس داده‌های واقعی مربوط به صنعت خودروسازی تشریح می‌شود. در این مطالعه موردی که پیش از این توسط [۲۵] نیز مورد استفاده قرار گرفته است، کیفیت محصول بر اساس یک رایطه رگرسیون خطی میان یک متغیر مستقل (فشار اسمی) و چهار متغیر پاسخ همبسته (فشارهای حقیقی) بیان می‌شود. بر اساس نتایج فاز یک، رایطه رگرسیونی تحت کنترل عبارت است از $\varepsilon_1 = -8,5 + 0,87x$, $y_1 = -8,5 + 0,87x$, $y_2 = -5,8 + 0,95x$, $y_3 = 3,2 + 1,04x$ و $y_4 = -5,8 + 0,95x + \varepsilon_2$.

منابع (References)

1. Ghashghaei, R., Amiri, A. and Khosravi, P., 2019. New control charts for simultaneous monitoring of the mean vector and covariance matrix of multi-
- variate multiple linear profiles. *Communications in Statistics-Simulation and Computation*, 48(5), pp.1382-1405. <https://doi.org/10.1080/03610918.2017.1414246>.
2. Ahmadi Yazdi, A., Zeinal Hamadani, A. and Amiri, A., 2020. Addressing the effect of parameter estimation on phase II monitoring of multivariate multiple linear pro-

- files via a new cluster-based approach. *Communications in Statistics-Theory and Methods*, 49(17), pp.4117-4132. <https://doi.org/10.1080/03610926.2019.1594303>.
3. Kordestani, M., Hassanvand, F., Samimi, Y. and Shahriari, H. 2020. Monitoring multivariate simple linear profiles using robust estimators. *Communications in Statistics-Theory and Methods*, 49(12), pp.2964-2989. <https://doi.org/10.1080/03610926.2019.1584314>.
 4. Ahmadi Yazdi, A., Zeinal Hamadani, A., Karimi Gavareshki, M.H. and Amiri, A., 2021. Phase II monitoring of multivariate profiles with estimated parameters and optimal phase I subgroups. *Communications in Statistics-Simulation and Computation*, 50(10), pp.2858-2884. <https://doi.org/10.1080/03610918.2019.1615626>.
 5. Haq, A., Bibi, M. and Brown, J., 2021. Monitoring multivariate simple linear profiles using individual observations. *Journal of Statistical Computation and Simulation*, 91(17), pp.3573-3592. <https://doi.org/10.1080/00949655.2021.1943665>.
 6. Rahimi, S.B., Amiri, A. and Ghashghaei, R., 2021. Simultaneous monitoring of mean vector and covariance matrix of multivariate simple linear profiles in the presence of within profile autocorrelation. *Communications in Statistics-Simulation and Computation*, 50(6), pp.1791-1808. <https://doi.org/10.1080/03610918.2019.1588314>.
 7. Haq, A., 2022. Adaptive MEWMA charts for univariate and multivariate simple linear profiles. *Communications in Statistics-Theory and Methods*, 51(6), pp.5383-5411. <https://doi.org/10.1080/03610926.2020.1839100>.
 8. Khalili, S. and Noorossana, R., 2022. Online monitoring of autocorrelated multivariate linear profiles via multivariate mixed models. *Quality Technology & Quantitative Management*, 19(3), pp. 319-340. <https://doi.org/10.1080/16843703.2021.2015834>.
 9. Ghashghaei, R. and Amiri, A., 2017. Sum of squares control charts for monitoring of multivariate multiple linear regression profiles in phase II. *Quality and Reliability Engineering International*, 33(4), pp.767-784. <https://doi.org/10.1002/qre.2055>.
 10. Taghipour, M., Amiri, A. and Saghaei, A., 2017. Phase I monitoring of within-profile autocorrelated multivariate linear profiles. *Journal of Engineering Research*, 5(4), pp.1-18.
 11. Ahmadi Yazdi, A., Hamadani, A. Z. and Amiri, A., 2019. Phase II monitoring of multivariate simple linear profiles with estimated parameters. *Journal of Industrial Engineering International*, 15(4), pp.557-570. <https://doi.org/10.1007/s40092-019-0305-y>.
 12. Bahrami, H., Niaki, S.T.A. and Khedmati, M., 2021. Monitoring multivariate profiles in multi-stage processes. *Communications in Statistics-Simulation and Computation*, 50(11), pp.3436-3464. <https://doi.org/10.1080/03610918.2019.1626882>.
 13. Noorossana, R. and Khalili, S., 2021. Phase II monitoring of auto-correlated linear profiles using multivariate linear mixed model. *International Journal of Industrial Engineering & Production Research*, 32(1), pp.1-11. doi:10.22068/ijiepr.32.1.1.
 14. Ahmadi Karavigh, M.H. and Amiri, A., 2022. MEWMA based control charts with runs rules for monitoring multivariate simple linear regression profiles in Phase II. *Communications in Statistics-Simulation and Computation*, In Press. <https://doi.org/10.1080/03610918.2022.2028833>.
 15. Rahimi, S.B., Amiri, A., Khoo, M.B. and Shadman, A., 2022. Simultaneous monitoring of mean vector and covariance matrix of auto-correlated multivariate multiple linear profiles. *Quality and Reliability Engineering International*, In Press. <https://doi.org/10.1002/qre.3149>.
 16. Abbas, N., Zafar, R.F., Riaz, M. and Hussain, Z., 2013. Progressive mean control chart for monitoring process location parameter. *Quality and Reliability Engineering International*, 29(3), pp.357-367. <https://doi.org/10.1002/qre.1386>.
 17. Abbasi, S.A., 2017. Poisson progressive mean control chart. *Quality and Reliability Engineering International*, 33(8), pp.1855-1859. <https://doi.org/10.1002/qre.2149>.
 18. Zafar, R.F., Mahmood, T., Abbas, N., Riaz, M. and Hussain, Z., 2018. A progressive approach to joint monitoring of process parameters. *Computers & Industrial Engineering*, 115, pp.253-268. <https://doi.org/10.1016/j.cie.2017.11.015>.
 19. Abbas, Z., Nazir, H.Z., Akhtar, N., Riaz, M. and Abid, M., 2019. An enhanced approach for the progressive mean control charts. *Quality and Reliability Engineering International*, 35(4), pp.1046-1060. <https://doi.org/10.1002/qre.2444>.
 20. Alevizakos, V. and Koukouvinos, C., 2020. A progressive mean control chart for monitoring time between events. *Quality and Reliability Engineering International*, 36(1), pp.161-186. <https://doi.org/10.1002/qre.2565>.
 21. Alevizakos, V. and Koukouvinos, C., 2021. Monitoring reliability for a gamma distribution with a double progressive mean control chart. *Quality and Reliability Engineering International*, 37(1), pp.199-218. <https://doi.org/10.1002/qre.2730>.
 22. Riaz, M., Abid, M., Abbas, Z. and Nazir, H.Z., 2021. An enhanced approach for the progressive mean control charts: A discussion and comparative analysis. *Quality and Reliability Engineering International*, 37(1), pp.1-9. <https://doi.org/10.1002/qre.2733>.
 23. Zafar, R.F., Khoo, M.B., Saha, S. and Chong, Z.L., 2021. Progressive mean control chart is not a special case of an exponentially weighted moving average control chart. *Quality and Reliability Engineering International*, 37(6), pp.2329-2333. <https://doi.org/10.1002/qre.2886>.
 24. Saeed, U., Mahmood, T., Riaz, M. and Abbas, N., 2018. Simultaneous monitoring of linear profile parameters under progressive setup. *Computers & Industrial Engineering*, 125, pp.434-450. <https://doi.org/10.1016/j.cie.2018.09.013>.
 25. Noorossana, R., Eyyazian, M. and Vaghefi, A., 2010. Phase II monitoring of multivariate simple linear profiles. *Computers & Industrial Engineering*, 58(4), pp.563-570. <https://doi.org/10.1016/j.cie.2009.12.003>.